



Nonlinear Control 非线性控制

第八讲



不稳定性

定理4.3 关于不稳定的定理(Chetaev)

对于扰动方程(1), 如果可以找到具有如下性质的函数:

- 1) 在区域 $\|x\| < H$ 上单值连续, $V(0)=0$;
- 2) 在原点的任意小邻域内存在 $V > 0$ 的连通分支区域, 且以 $V=0$ 为界;
- 3) 在 $V > 0$ 的连通分支区域上, \dot{V} 连续, 且 $\dot{V} > 0$.

则原点不稳定.

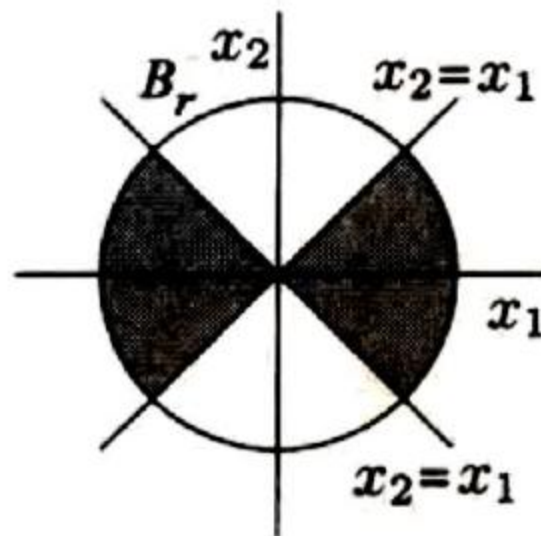


图 4.5 $V(x) = \frac{1}{2}(x_1^2 - x_2^2)$ 时的集合 U

例1:

$$\begin{cases} \dot{x} = 2x^2 - 2y^2 \\ \dot{y} = xy \end{cases}$$

判断原点稳定性.

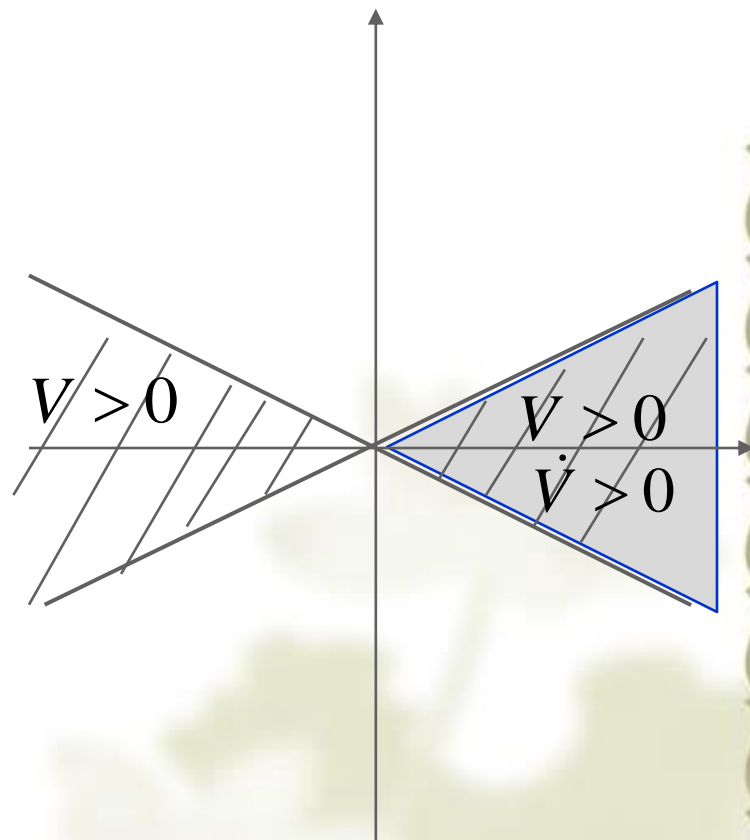
取:
$$V = \frac{1}{4}x^2 - \frac{1}{2}y^2$$

得:

$$\dot{V} = x(x^2 - 2y^2) = 4xV$$

当 $x > 0$, 在 $V > 0$ 的区域有 $\dot{V} > 0$.

满足Chetaev定理条件 \Rightarrow 原点不稳.



例2:

$$\begin{cases} \dot{x} = y \\ \dot{y} = -x \end{cases}$$

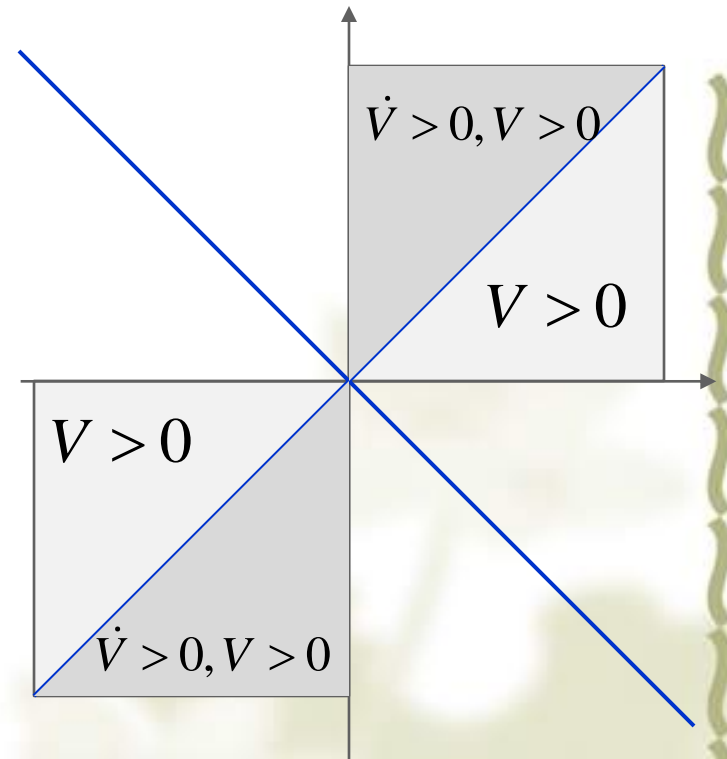
原点稳定(但不渐近稳定).

取: $V = xy$

得: $\dot{V} = y^2 - x^2$

$\dot{V} > 0, V > 0$ 的区域并不以 $V = 0$ 为边界.

Chetaev定理不适用.

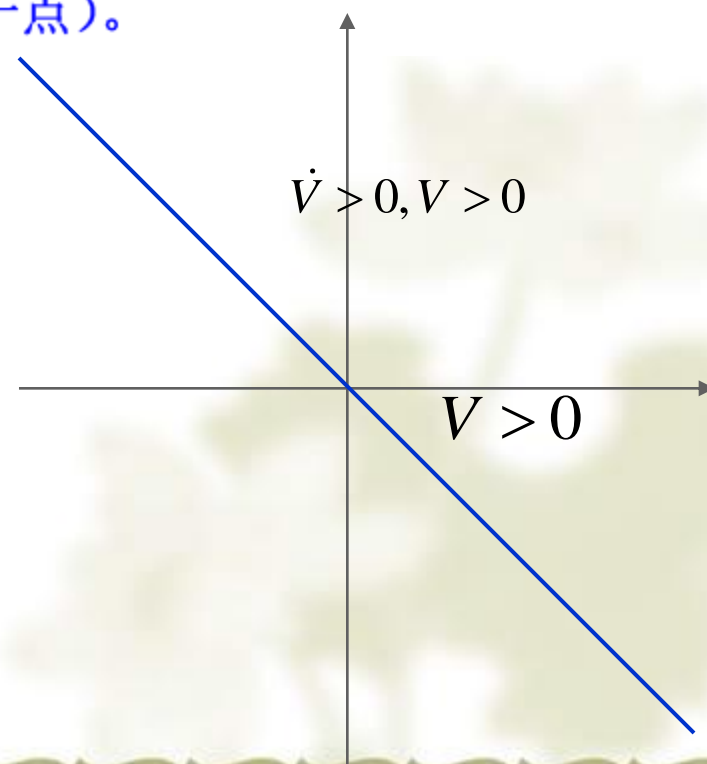


例：考虑系统 $\dot{x}_1 = x_2, \dot{x}_2 = x_1$ ，构造不定函数 $V(x) = x_1 + x_2$ ，

其在原点任意小邻域内均存在区域 U 使得当 $x \in U$ 时有

$V(x) > 0$ 。由于 $\dot{V}(x) = x_1 + x_2 = V(x) > 0 (x \in U)$ ，因此该系统

不稳定（应用 **Hurwitz** 判据可验证这一点）。

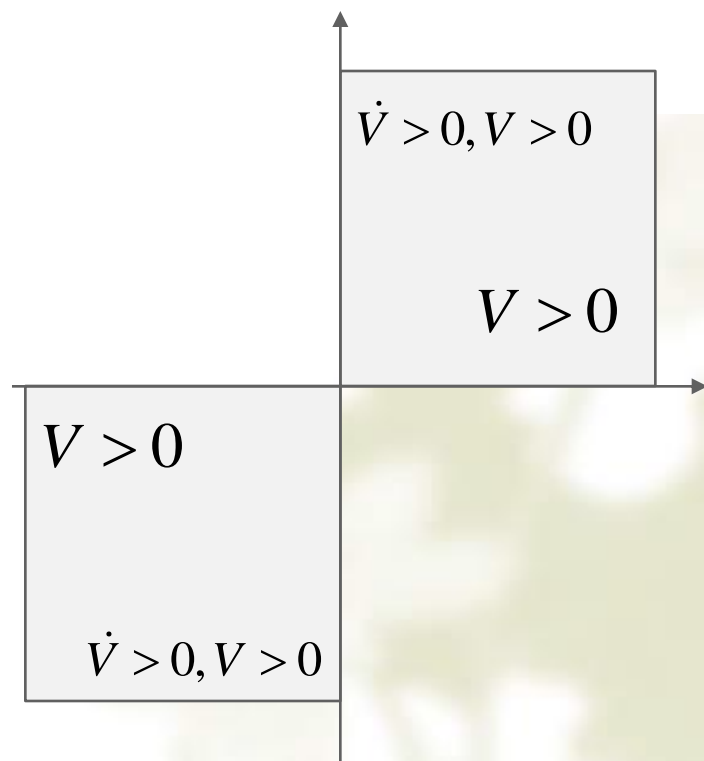


例：考虑系统 $\dot{x}_1 = 0, \dot{x}_2 = \sin x_1$ ，构造不定函数 $V(x) = x_1 x_2$ ，

由于 $\dot{V}(x) = x_1 \sin x_1 > 0 (|x_1| < \pi, x_1 x_2 > 0)$ ，定义

$U \triangleq \{x : |x_1| < \pi, x_1 x_2 > 0\}$ ，则在 U 内有 $V(x) > 0, \dot{V}(x) > 0$ ，

因此该系统不稳定。





Lyapunov稳定性扩展结果

例子 有阻尼振动线性系统

考虑阻尼振动系统

$$\ddot{x} + \dot{x} + x = 0$$

引入状态变量 $x_1 = x, x_2 = \dot{x}$ 可得状态变量方程为

$$\begin{cases} \dot{x}_1 = x_2 \\ \dot{x}_2 = -x_1 - x_2 \end{cases}$$

取 $v(x) = 3x_1^2 + 2x_1x_2 + 2x_2^2$ 则 $\dot{v} = -2(x_1^2 + x_2^2)$

故原点渐近稳定。

若取 $v(x) = \frac{1}{2}(x_1^2 + x_2^2)$ 则 $\dot{v} = -x_2^2$

因此 $v > 0, \dot{v} \leq 0$.

只能判断原点稳定，而实际上是渐近稳定的。

4.2 不变原理

原点渐近稳定性（Krasovskii-Barbashin）定理、

Krasovskii–LaSalle 不变集原理

正极限点（相轨线/系统）、正极限集（相轨线/系统）、正不变集

渐近稳定平衡点是始于足够接近平衡点的每个解的正极限集。

稳定极限环是始于足够接近极限环的每个解的正极限集，解趋于极限环。

平衡点吸引区（集合）和极限环是不变集

引理：自治系统任何解的正极限集是该系统的正不变集。有界解的正极限集是非空不变紧集，且当时间趋于无穷时，解趋于正极限集。

定理4.4 若 Ω 是系统的一个正不变紧集。设 $V: D \rightarrow R$ 的连续可微函数，在 Ω 内沿系统的解的导数是半负定的。设 E 是 Ω 内满足 $\dot{V}(x) = 0$ 所有点的集合， M 是 E 内最大不变集。则当时间趋于无穷时，从 Ω 出发的解都趋于 M 。

这是著名的LaSalle不变定理。

评注：

1. 与Lyapunov 定理不同，定理4.4 不要求函数 $V(x)$ 正定。
2. 构造正不变紧集合不必与构造 $V(x)$ 相联系。在许多应用中，构造的 $V(x)$ 本身就保证了正不变集合存在。
3. 要考虑系统原点的渐近稳定性，就要确定原点是 E 中的最大不变集。

推论4.1 考虑 (4.1) 的零平衡点, $V: D \rightarrow \mathbb{R}$ 的连续可微的正定函数, D 包含原点且在 D 内沿系统的解的导数是半负定的。设 $S = \{x \in D \mid \dot{V}(x) = 0\}$, 并假设除了平凡零解之外, 没有其他解保持在 S 内, 那么原点是渐近稳定的。

推论4.2 若存在一个连续可微且径向无界的正定函数, 它沿系统的解的导数是半负定的, $\dot{V}(x) \leq 0$, 且除原点外 $M = \{x \in \mathbb{R}^n \mid \dot{V}(x) = 0\}$ 内不再包含其他轨线, 则系统原点是全局渐近稳定的。

这两个结论分别称为: **Barbashin定理**和**Krasovskii定理** .

例 4.8 考虑系统

$$\begin{aligned}\dot{x}_1 &= x_2, \\ \dot{x}_2 &= -h_1(x_1) - h_2(x_2)\end{aligned}$$

其中 $h_1(\cdot)$ 和 $h_2(\cdot)$ 为局部 **Lipschitz** 函数, 且满足

$$h_i(0) = 0, y h_i(y) > 0, \forall y \neq 0, y \in (-a, a)$$

考虑系统零平衡点的稳定性, 取候选**Lyapunov**函数:

$$V(x) = \int_0^{x_1} h_1(y) dy + \frac{1}{2} x_2^2$$

设 $D = \{x \in R^2 \mid -a < x_i < a\}$, 则 $V(x)$ 在 D 内正定, 且有

$$\dot{V}(x) = h_1(x_1)x_2 + x_2[-h_1(x_1) - h_2(x_2)] = -x_2 h_2(x_2) \leq 0$$

半负定。且 \dot{V} 导数等于零, 即有 $x_2=0$, 推得 x_2 导数为零, 从而推得 $x_1=0$ 。

故可以得到 集合 $S = \{x \in D \mid \dot{V}(x) = 0\}$ 中只有零点。从而原点渐近稳定。

例子4.9

考虑例4.8 的系统，设 $a=\infty$ ，且满足 $\int_0^y h_1(z)dz \rightarrow \infty, |y| \rightarrow \infty$ ，这样

□

Lyapunov 函数 $V(x) = \int_0^{x_1} h_1(y)dy + \frac{1}{2}x_2^2$ 径向无界。

利用上例处理，可以得到系统原点是全局渐近稳定的。

对**LaSalle** 定理的几点说明：

LaSalle 定理放宽了对 $V(\mathbf{x})$ 正定的要求，这一特性的应用将通过1.2.5 节中的神经网络应用实例说明。

LaSalle 定理放宽了对函数 $V(\mathbf{x})$ 导数负定的要求；

LaSalle 定理给出了吸引区的估计值，定理4.4 中的集合 Ω 可以是任意正不变紧集，8.2 节中将利用该特性得到较不保守的吸引区的估计区间。

LaSalle 定理可用于有一个平衡点集的系统，而不是只有一个孤立平衡点的系统中，这将通过1.2.6 节的一个简单自适应控制的应用实例说明。

例4.10: 自适应控制

考虑模型: $\dot{y} = ay + u$ 和自适应控制律 $u = -ky, \dot{k} = \gamma y^2, \gamma > 0$,

取 $x_1 = y, x_2 = k$, 则闭环系统为: $\dot{x}_1 = -(x_2 - a)x_1, \dot{x}_2 = \gamma x_1^2$

$x_1 = 0$ 是闭环系统的平衡点集。现在要证明轨线趋于平衡点集,
为此考虑候选Lyapunov 函数:

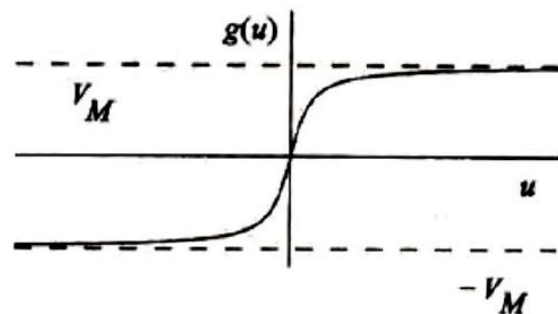
$$V(x) = \frac{1}{2} x_1^2 + \frac{1}{2\gamma} (x_2 - b)^2, b > a.$$

V沿系统解轨线的导数为:

$$\dot{V}(x) = x_1 \dot{x}_1 + \frac{1}{2\gamma} (x_2 - b) \dot{x}_2 = -x_1^2 (x_2 - a) + x_1^2 (x_2 - b) = -x_1^2 (b - a)$$

因此， $\dot{V}(x) \leq 0$ 。由于 $V(x)$ 径向无界，所以集合 $\Omega_c = \{x \in R^2 \mid V(x) \leq c\}$ 是正不变紧集。取 $\Omega = \Omega_c$ ，定理 4.4 中的所有条件都得到满足。相关集合由 $E = \{x \in \Omega_c \mid x_1 = 0\}$ 给出。因为直线 $x_1 = 0$ 上的任意一点都是平衡点，所以 E 是不变集。因而，该例中 $M = E$ 。从定理 4.4 中可得，当 $t \rightarrow \infty$ 时，始于 Ω_c 内的每条轨线都趋于 E ，即 $t \rightarrow \infty$ 时 $x_1(t) \rightarrow 0$ 。而且，由于 $V(x)$ 是径向无界的，所以该结论是全局适用的，即结论对于所有初始条件 $x(0)$ 都成立，因为对于任何 $x(0)$ 都可以选择足够大的常数 c ，使 $x(0) \in \Omega_c$ 。

例: 4.11 人工神经网络



$$\dot{x}_i = \frac{1}{C_i} h_i(x_i) \left(\sum_j T_{ij} x_j - \frac{1}{R_i} g_i^{-1}(x_i) + I_i \right)$$

状态变量是各放大器的输出电压：取值 $(-V_M, V_M)$ ，函数 g 为如图的S型函数

$$h_i(x_i) = \left. \frac{dg_i}{du_i} \right|_{u_i = g_i^{-1}(x_i)} > 0, \forall x_i \in (-V_M, V_M), T_{ij} = T_{ji}, R_i > 0, C_i > 0$$

平衡点为是孤立的，由对称性： $\sum_j T_{ij} x_j - \frac{1}{R_i} g_i^{-1}(x_i) + I_i$ 的分量是标量函数的梯度。用变梯度函数法，通过积分可以得到其为如下标量函数

$$V(x) = -\frac{1}{2} \sum_i \sum_j T_{ij} x_i x_j + \sum_i \frac{1}{R_i} \int_0^{x_i} g_i^{-1}(y) dy - \sum_j I_i x_i$$

V 是连续可微的，且状态方程可以重写为： $\dot{x}_i = -\frac{1}{C_i} h_i(x_i) \frac{\partial V}{\partial x_i}$

考虑 V 沿系统轨线的导数： $\dot{V}(x) = \sum_{i=1}^n \frac{\partial V}{\partial x_i} \dot{x}_i = -\sum_{i=1}^n \frac{1}{C_i} h_i(x_i) \left(\frac{\partial V}{\partial x_i} \right)^2 \leq 0$

$$\dot{V}(x) = 0 \Rightarrow \frac{\partial V}{\partial x_i} = 0 \Rightarrow \dot{x}_i = 0, \forall i$$

例: 4.11 人工神经网络 (续)

因此仅在平衡点处 V 的导数为零。为了应用定理4.4, 构造如下集合:

$$\Omega(\varepsilon) = \{x \in R^n : -(V_M - \varepsilon) \leq x_i \leq V_M - \varepsilon\}, \varepsilon > 0 \text{ 任意小.}$$

该集合是有界闭集, 且在其内有 V 的导数半负定。下面证明其为正不变集。为方便假设:

$$g_i(u_i) = \frac{2V_M}{\pi} \arctan\left(\frac{\lambda \pi u_i}{2V_M}\right), \lambda > 0$$

则系统变为:

$$\dot{x}_i = \frac{1}{C_i} h_i(x_i) \left(\sum_j T_{ij} x_j - \frac{2V_M}{\lambda \pi R_i} \tan\left(\frac{\pi x_i}{2V_M}\right) + I_i \right)$$

此时

$$\left| \tan\left(\frac{\pi x_i}{2V_M}\right) \right| \geq \tan\left(\frac{\pi(V_M - \varepsilon)}{2V_M}\right) \rightarrow \infty, \varepsilon \rightarrow 0, \text{ for } |x_i| \geq V_M - \varepsilon$$

由于 x_i 和 I_i 有界, 可以选择足够小的 $\varepsilon > 0$, 保证

$$x_i \sum_j T_{ij} x_j - \frac{2V_M x_i}{\lambda \pi R_i} \tan\left(\frac{\pi x_i}{2V_M}\right) + x_i I_i < 0, V_M - \varepsilon \leq |x_i| \leq V_M$$

因此, $\frac{d}{dt} x_i^2 = 2x_i \dot{x}_i < 0, V_M - \varepsilon \leq |x_i| \leq V_M.$

例: 4.11 (续)

因此从 $\Omega(\varepsilon)$ 出发的解轨迹在未来所有时刻都保持在它的内部。实际上，从 $(-V_M, V_M) \setminus \Omega(\varepsilon)$ 出发的所有轨迹将收敛于 $\Omega(\varepsilon)$ ，这表明所有平衡点都在紧集 $\Omega(\varepsilon)$ 内。因此，只可能有有限孤立平衡点。

在 $\Omega(\varepsilon)$ 内， $\mathbf{E}=\mathbf{M}$ 为平衡点集合。由定理4.4可知，当时间趋于无穷时 $\Omega(\varepsilon)$ 内的每条轨线都趋于 \mathbf{M} 。由于 \mathbf{M} 由孤立平衡点组成，可以证明趋于 \mathbf{M} 的轨线一定趋于这些平衡点中的某一个。所以系统不会振荡。

习题1：判断以下系统是否渐近稳定？是否全局渐近稳定？

(1) $\dot{x}_1 = -x_2, \dot{x}_2 = x_1 - x_2^3$;

(2) $\dot{x}_1 = x_2 - \sin x_1, \dot{x}_2 = -x_1$;

(3) $\dot{x}_1 = -x_2, \dot{x}_2 = x_1 - x_2(1 - x_1^2)$;

(4) $\dot{x}_1 = -x_2, \dot{x}_2 = x_1 + x_3, \dot{x}_3 = -x_2 - x_3^3$,



作业： P_{122} , 4.4, 4.13, 4.14

